



БИООРГАНИЧЕСКАЯ ХИМИЯ

том 5 * № 6 * 1979

УДК 612.018.023

ИСПОЛЬЗОВАНИЕ КОНКУРЕНТНОГО ИНГИБИРОВАНИЯ ДЛЯ ОПРЕДЕЛЕНИЯ КОНСТАНТ АССОЦИАЦИИ

Черняев Г. А.

Институт биоорганической химии им. М. М. Шемякина
Академии наук СССР, Москва

Предложены три формулы расчета констант ассоциации конкурентов с рецептором. На примере ингибиции связывания $[^3\text{H}]$ -эстрадиола с цитозолом матки кролика показано, что результаты, полученные при использовании трех формул, совпадают между собой. Обсуждается использование угля для определения связывания меченого лиганда.

Применение меченых лигандов позволяет изучать их связывание со специфическими макромолекулами — рецепторами. Средство немеченых лигандов и их аналогов можно изучать по способности этих соединений ингибировать связывание меченого лиганда. Этот способ нашел широкое применение при исследовании рецепции стероидных гормонов, и в частности женских половых гормонов — эстрогенов. Однако средство ингибитора к рецептору обычно выражается относительной величиной, т. е. ингибирующее действие немеченого аналога сравнивается со способностью немеченого лиганда ингибировать связывание меченого лиганда. В этой статье представлены формулы для расчета констант ассоциации конкурентов, а также проводится сравнение различных способов расчета на примере ингибиции связывания меченого эстрадиола с цитозольным рецептором матки кролика.

Рецепторная система характеризуется двумя параметрами: равновесной константой ассоциации K (или константой диссоциации) и концентрацией связывающих мест N . Для состояния равновесия $P+L \rightleftharpoons PL$, где P — рецептор, L — лиганд, PL — комплекс, константа ассоциации определяется как

$$K = \frac{[PL]}{[P][L]} \quad \text{или} \quad K = \frac{B}{(N-B)U}$$

(где B — концентрация связанного меченого лиганда, U — концентрация свободного меченого лиганда). Преобразование этого выражения приводит к уравнению, связывающему величины B и U :

$$B = \frac{KU}{1+KU} N. \quad (1)$$

График этого уравнения имеет вид ветви гиперболы (рис. 1а). Обычно уравнение (1) представляют в виде, приводящем к линейности графика и позволяющем определять параметры связывающей системы. Это урав-

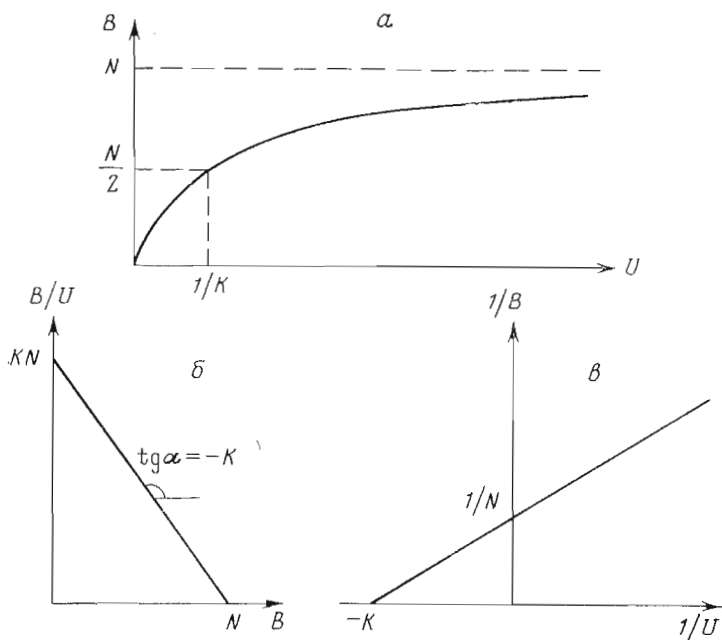


Рис. 1. Графическое выражение уравнения $B = \frac{KU}{1+KU} \cdot N$ (а) и представление той же зависимости в координатах Скэтчарда (б) и Лайнунивера – Берка (в)

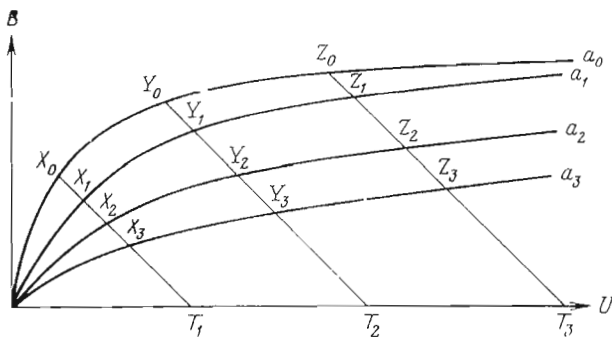


Рис. 2. График связывания меченого лиганда в отсутствие ингибитора ($I=0$) (a_0) и в присутствии возрастающих концентраций ингибитора $I_1 < I_2 < I_3$ (соответственно кривые a_1, a_2, a_3). Значения X, Y, Z, T – см. пояснения в тексте

жения (2) и (3) и соответственно графики в координатах Скэтчарда [1] и Лайнунивера–Берка [2], показанные на рис. 1б, в:

$$\frac{B}{U} = KN - KB, \quad (2)$$

$$\frac{1}{B} = \frac{1}{N} + \frac{1}{KN} \cdot \frac{1}{U}. \quad (3)$$

Присутствие ингибиторов приводит к изменению упомянутых графиков (рис. 2). Если связывание меченого лиганда без ингибитора определялось точкой X_0 , то в зависимости от концентраций ингибитора ($I_1 < I_2 < I_3$) эта точка сместится соответственно в точки X_1, X_2, X_3 . Смещение произойдет и с другими точками (Y_0, Z_0), причем смещение будет про-

исходить по прямым, пересекающим координатные оси в точках, соответствующих общим концентрациям меченого лиганда T_1 , T_2 , T_3 . Кривая связывания a_0 примет соответственно вид a_1 , a_2 , a_3 .

При конкурентном ингибиовании, когда ингибитор и лиганд связываются с одним и тем же связывающим участком молекулы рецептора, данная концентрация ингибитора не будет влиять на связывание при достаточно большой концентрации меченого лиганда. Поэтому при больших значениях U графики a_1 , a_2 , a_3 сольются с кривой связывания меченого лиганда a_0 и присутствие конкурентного ингибитора не скажется на определении концентрации связывающих мест. Таким образом, графики в обратных координатах для различных концентраций конкурентного ингибитора пересекут ось ординат в одной точке, и эти графики можно использовать для выяснения характера ингибиования. Константа ассоциации меченого лиганда, K_H , и константа ассоциации конкурента, K_I , будут выражаться следующими уравнениями:

$$K_H = \frac{B}{(N-B-Z)U}, \quad (4)$$

$$K_I = \frac{Z}{(N-B-Z)(I-Z)}, \quad (5)$$

где K_I — константа ассоциации ингибитора; I — полная концентрация ингибитора; Z — концентрация связанного ингибитора.

Из этой системы двух уравнений, в которой неизвестными являются K_I и Z , можно определить константу ассоциации ингибитора. Формула для вычисления этой константы имеет следующий вид:

$$\frac{K_H}{K_I} = \frac{I}{U\left(\frac{N}{B}-1\right) - \frac{1}{K_H}} - \frac{B}{U}. \quad (6)$$

Это уравнение позволяет рассчитать константу ассоциации ингибитора для любых концентраций меченого лиганда и немеченого конкурента.

В работе Бест-Бельпомма и Дессена [3] была составлена иная система уравнений для конкурентного ингибиования, преобразуя которую авторы получили уравнение (в цитируемой работе под номером 5)

$$\frac{(PX)}{(P_r)} = \left[1 + \frac{1}{K(X)} + \frac{K_I(I_r)}{K(X) + K_I(PX)} \right]^{-1},$$

где K и K_I — константы ассоциации меченого лиганда и немеченого конкурента; (PX) — концентрация мечесного комплекса; (X) — концентрация свободного меченого лиганда; (I_r) — полная концентрация немеченого конкурента; (P_r) — полная концентрация рецептора (обозначения авторов).

В уравнении Бест-Бельпомма и Дессена, как видно, неизвестна только величина K_I , которую можно рассчитать непосредственно из этого уравнения. Его преобразование приводит к уравнению (6).

Чэнг с сотр. [4] расширили систему уравнений, описывающих конкурентное ингибиование:

$$K_D = \frac{([R_t] - [RH]) [H_f]}{[RH]},$$

$$K_D = \frac{([R_t] - [RH] - [RI]) [H_f']} {[RH]},$$

$$K_I = \frac{([R_t] - [RH] - [RI]) [I_f]} {[RI]}$$

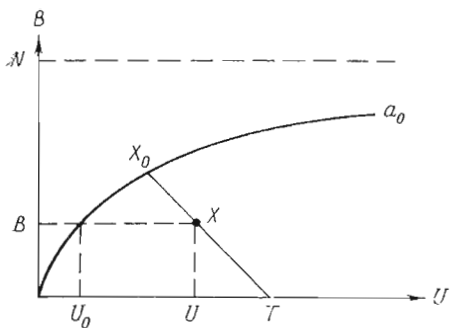


Рис. 3

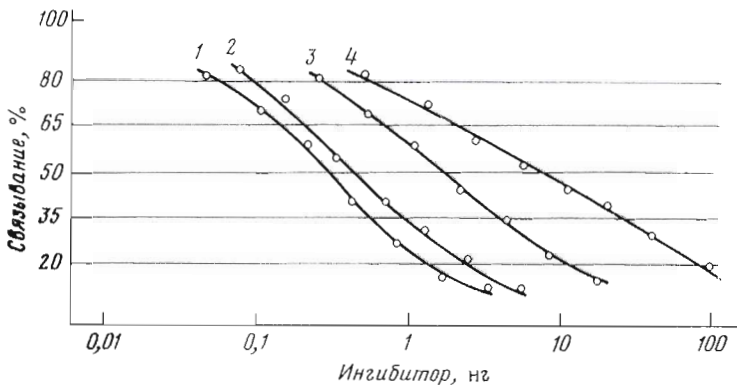


Рис. 4

где K_D и K_I — константы диссоциации меченого лиганда и немеченого конкурента; $[RH]$ и $[RI]$ — концентрации комплексов меченого лиганда и конкурента; $[H_f]$ и $[H_f']$ — концентрации свободного меченого лиганда без конкурента и в его присутствии; $[I_f]$ — концентрация свободного конкурента (обозначения авторов).

С помощью этой системы было получено выражение для расчета константы ассоциации ингибитора, преобразование которого приводит к следующему уравнению (обозначения — как для системы уравнений 4 и 5):

$$\frac{1}{K_I} = \frac{IU_0}{U-U_0} - (N-B) \frac{U_0}{U}, \quad (7)$$

где U_0 — концентрация свободного меченого лиганда, определяемая из графика связывания меченого лиганда в отсутствие ингибитора (рис. 3).

Часто связывающая способность ингибитора выражается величиной относительного сродства, определяемой по способу, предложенному Ко-ренманом [5]. При этом изучают ингибирование связывания с рецептором меченого лиганда при добавлении различных количеств конкурентов, в том числе немеченого лиганда, и сравнивают дозы конкурентов, вызывающие снижение связывания меченого лиганда на 50%. Относительное сродство (A) выражают отношением указанной дозы немеченого лиганда к дозе немеченого аналога.

Коренман [6] и Скидмор и др. [7] предложили несколько отличающиеся уравнения для расчета отношения констант ассоциации по величине относительного сродства.

Рис. 3. Определение величины U_0 для расчета K_I по формуле (7). Обозначения — как для рис. 2

Рис. 4. Ингибирование связывания $[^3\text{H}]$ -эстрадиола с цитозолом матки крыска немечеными стероидами: эстрadiолом (1), 8-альфа-эстрадиолом (2), эстроном (3), 17-дезоксистероном (4)

Преобразование этих уравнений приводит к общей формуле

$$\frac{K_i}{K} = \frac{U}{T - B}, \quad (8)$$

где B и U — концентрации связанного и свободного меченого лиганда при концентрации конкурентов, вызывающих одинаковое снижение связывания меченого лиганда.

Следует отметить, что относительное сродство можно определять не только для двукратного снижения связывания меченого лиганда, но и для любого снижения связывания, вызываемого присутствием конкурента.

Из формулы (8) вытекает, что относительное сродство не является постоянной величиной для данного конкурента, а зависит от условий ее определения. Можно показать, что величина относительного сродства больше величины отношения констант ассоциации и приближается к отношению констант при увеличении U и уменьшении B :

$$A \rightarrow \frac{K_i}{K} \text{ при } U \rightarrow T \text{ и } B \rightarrow 0.$$

Это происходит тогда, когда либо увеличивается полная концентрация меченого лиганда T (соответственно увеличиваются и концентрации конкурентов, которые необходимы, чтобы вызвать ту же степень ингибирования), либо для данного T величина A определяется при большей степени ингибирования.

Таким образом, изучая связывание меченого лиганда в присутствии немеченого конкурента, можно рассчитать K_i (по формулам 6 и 7) или отношение константы аналога к константе немеченого лиганда K_i/K (по формуле 8). Как следует из этих формул, нужно знать величины свободного меченого лиганда U и меченого комплекса B , которые определяют после разделения свободной и связанной форм меченого гормона.

Для разделения применяют различные способы: равновесный диализ [8, 9]; ультрацентрифугирование в градиенте плотности сахарозы или глицерина [10, 11]; фильтрацию на колонке (сефадекс G-25 [12], биогель П-10 [13], оксиапатит [14]), адсорбцию свободного лиганда декстранопротивным углем [5], ультрафильтрацию [8] и фильтрацию через DEAE-целлюлозные фильтры [15], разделение инкубационной среды на фазы [16], осаждение комплексов протаминальфатом [17] или $(\text{NH}_4)_2\text{SO}_4$ [18].

Первые два метода наиболее точны, но из-за высокой трудоемкости и длительности эксперимента они неудобны для применения в широком масштабе. Чаще применяется адсорбция углем, преимуществами которой являются быстрота, возможность одновременной обработки большого числа проб и хорошая воспроизводимость результатов [19]. Этот метод и был использован в нашей работе (см. «Экспериментальную часть»), однако при его применении приходится учитывать два обстоятельства.

Во-первых, уголь адсорбирует свободный лиганд неполностью, и поэтому кажущаяся концентрация комплексов, определенная по радиоактивности (B_e), оказывается больше истинной концентрации комплексов, существовавшей в среде перед удалением угля (B_i). Но зная полноту адсорбции углем свободного лиганда (x), можно рассчитать концентрацию комплексов B_i , используя известную величину полной концентрации меченого лиганда (T) и величину, определяемую по радиоактивности образца (B_e):

$$\begin{aligned} U_e &= xU_i; \\ B_i &= T - U_i = T - \frac{U_e}{x}, \\ B_i &= T - \frac{T - B_e}{x}. \end{aligned} \quad (9)$$

Таблица 1

Константы ассоциации немеченых стероидов,
расчитанные по формулам (6) и (7)

Стероид	Концен- трация, нМ	$K_I, 10^9 \text{ M}^{-1}$			
		по формуле (6)	среднее	по формуле (7)	среднее
Эстрадиол	0,52	4,1		4,7	
	1,05	3,3		4,2	
	2,1	3,4		3,8	
	4,2	3,1	3,1±0,3	3,1	3,3±0,5
	8,4	2,9		2,6	
	16,8	1,9		1,6	
8 α -Эстрадиол	0,8	2,1		2,7	
	1,6	2,7		3,3	
	3,2	2,4		2,6	
	6,3	1,7	2,0±0,2	1,8	2,2±0,3
	12,6	2,0		1,8	
	25,2	1,2		1,2	
Эстрон	2,6	0,78		0,84	
	5,3	0,68		0,76	
	10,6	0,52		0,65	
	21	0,46	0,53±0,07	0,51	0,59±0,08
	42	0,39		0,45	
	84	0,33		0,33	
17-Дезоксиэстра- диол	14	0,19		0,22	
	28	0,16		0,17	
	56	0,12		0,14	
	112	0,10	0,12±0,03	0,12	0,13±0,03
	220	0,08		0,09	
	440	0,07		0,06	

Нетрудно видеть, что неполнота адсорбции будет заметно сказываться при увеличении полной концентрации меченого лиганда, когда насыщается рецептор и увеличивается концентрация свободного лиганда.

Второе обстоятельство, которое приходится учитывать, применяя уголь,— это нарушение равновесия, вызываемое добавлением угля. Адсорбция свободных лигандов приводит к диссоциации комплексов.

Учесть частичную диссоциацию комплексов можно, изучив зависимость концентрации меченых комплексов от времени адсорбции и введя в уравнение (9) дополнительный коэффициент $y=B_0/B_t$, где B_0 —равновесная концентрация комплексов. Формула для определения равновесной концентрации меченого комплекса примет вид

$$B_0 = \left[T - \frac{T-B_e}{x} \right] y$$

или

$$B_0 = \frac{B_e - (1-x)T}{x} y. \quad (10)$$

Полноту адсорбции меченого лиганда — [^3H] эстрадиола определяли, добавляя к меченному гормону: а) буфер, затем суспензию угля; б) цитозол, предварительно прогретый до 70°, и сразу после этого суспензию угля; в) суспензию угля и затем свежий цитозол.

Результаты, полученные различными способами, совпадали: полнота адсорбции стероидов углем была равна 0,98–0,99 независимо от концентрации стероида и от времени адсорбции (если время превышало 10 мин). Комpleксы, образуемые [^3H]эстрадиолом с рецептором цитозола матки в присутствии 0,4 М KCl, диссоциировали медленно [20], и коэффициент y для уравнения (10) был равен 1,10 для 30-минутной адсорбции. Константа ассоциации K_h меченого эстрадиола, определенная из графика Скэтчарда, была равна $1,8 \cdot 10^9 \text{ M}^{-1}$.

Таблица 2

Специфичность эстрadiольного рецептора,
определенная различными методами

Немеченные лиганды	K_I/K по формуле		
	(6)	(7)	(8)
Эстрadiол	1,00	1,00	1,0
8 α -Эстрadiол	0,64	0,66	0,63
Эстрон	0,17	0,18	0,17
17-Дезоксиэстрadiол	0,039	0,039	0,046

Для ингибирования связывания [^3H]эстрadiола использовали немеченный эстрadiол и его аналоги: стереоизомер 8α -эстрadiол и структурные производные эстрон и 17-дезоксиэстрadiол. Эти аналоги были оптически активными, и все конкурентно ингибировали связывание [^3H]эстрadiола [20]. Для различных концентраций ингибитора по формулам (6) и (7) были рассчитаны константы ассоциации ингибиторов, представленные в табл. 1. Как видно, результаты, полученные с помощью различных формул, близки между собой, но наблюдается уменьшение K_I при увеличении концентрации ингибитора. Для небольших концентраций ингибитора (когда связывание [^3H]эстрadiола снижается меньше чем на 50%) рассчитанные величины K_I для немеченого эстрadiола превосходят величину K_h , полученную для меченого эстрadiола. При больших концентрациях немеченого эстрadiола, когда связывание [^3H]эстрadiола составляет 30–10% от исходного (т. е. наблюдаемого в отсутствие немеченого эстрadiола), K_I очень близка к K_h .

Вероятно, указанное изменение отражает отклонение свойств изучаемой связывающей системы от свойств идеальной системы, для которой были выведены все уравнения. Однако при использовании высоких концентраций меченого лиганда и немеченого конкурента связывающая система, возможно, приближается к идеальной, так как K_I , рассчитанная для немеченого эстрadiола, близка к K_h , полученной из графика Скэтчарда. На теоретическом графике (рис. 2) этой ситуации соответствует точка Z_3 . Изменение связывания [^3H]эстрadiола в зависимости от концентрации ингибитора показано на рис. 4, где за 100% принято исходное связывание. Хорошо видны непараллельность графиков в точке 50% и уменьшение наклона при уменьшении средства соответствующего ингибитора к рецептору, как и следует из анализа формулы (8). Величины относительного средства A определялись для различных уровней снижения связывания [^3H]эстрadiола: до 80, 65, 50, 35 и 20% исходного связывания. На основании этих величин по формуле (8) рассчитывались отношения констант ассоциации K_I аналогов эстрadiола к константе ассоциации K_h немеченого эстрadiола (K_I/K_h) и средние значения K_I/K_h представлены в табл. 2. Из средних значений констант ассоциации немеченых стероидов, рассчитанных по формулам (6) и (7) (табл. 1), были также вычислены отношения констант ассоциации аналогов эстрadiола к константе ассоциации немеченого эстрadiола (табл. 2). Следует отметить, что отношения K_I/K_h , рассчитанные по формулам (6) и (7) для наибольших концентраций ингибиторов (табл. 1), т. е. когда K_I для немеченого эстрadiола практически совпадала с K_h для меченого эстрadiола, очень близки к данным табл. 2. Из табл. 2 ясно следует, что все три способа анализа специфичности рецептора дают одинаковые результаты.

Экспериментальная часть

В работе применялись [6, 7- ^3H]эстрadiол (45 Кн/ммоль, Amersham, Англия) и немеченные стероиды: эстрadiол, 8α -эстрadiол, эстрон и 17-дезоксиэстрadiол (получены как описано в работе [20]). Стероиды раствор-

ряли в этаноле и разводили до нужной концентрации буфером (конечная концентрация этанола 1%; буфер — 0,02 М трис-HCl, 1,5 мМ EDTA, pH 7,5 (ТЕ)). В опытах использовали самок кроликов шиншиллы весом не более 2,5 кг. Животных декапитировали, и матки после освобождения от жировой ткани гомогенизировали в 10 объемах ТЕ (гомогенизатор Р-302, 3000 об/мин). Для получения цитозола гомогенат центрифугировали 1,5 ч при 40 000 об/мин (ротор Ti 42, центрифуга Beckman L5-50). К цитозолу добавляли раствор KCl в ТЕ до конечной концентрации 0,4 М (цитозол-KCl). Концентрация белка, определенная по методу Лоури [21], была равна 0,6 мг/мл. 200 мкл раствора стероидов, содержащих 0,4 нг [³H]эстрадиола (конечная концентрация 2,1 нМ) или смесь 0,4 нг [³H]эстрадиола с различными дозами немечеенных стероидов, смешивали с 500 мкл цитозола-KCl и смесь инкубировали 20 ч. Для адсорбции свободных стероидов в пробу добавляли 30 мкл суспензии 6% угля Norit и 0,6% декстрана (*M* 80 000) в ТЕ. Пробы встраивали в течение 30 мин, после чего уголь удаляли центрифугированием. Все операции проводили при 0—4°. Супернатант (500 мкл) смешивали с 8 мл диоксанового сцинтиллятора Bray; по радиоактивности определяли величину связывания меченого гормона (*B_e*). Измерение радиоактивности проводили на счетчике Mark II (эффективность для трития 20%).

ЛИТЕРАТУРА

- Scatchard G. (1949) Ann. N. Y. Acad. Sci., **51**, 660—672.
- Lineeweaver H., Burk D. (1934) J. Amer. Chem. Soc., **56**, 658—666.
- Best-Belpomme M., Dessen P. (1973) Biochimie, **55**, 11—16.
- Chang K.-J., Jacobs S., Cuatrecasas P. (1975) Biochim. et biophys. acta, **406**, 294—303.
- Korenman S. G. (1969) Steroids, **13**, 163—177.
- Korenman S. G. (1970) Endocrinology, **87**, 1119—1123.
- Skidmore J., Walpole A. L., Woodburn J. (1972) J. Endocrin., **52**, 289—298.
- Westphal U. (1971) Steroid-Protein Interactions. Springer-Verlag, Berlin.
- King R. J. B., Gordon J., Cowan D. M., Inman D. R. (1966) J. Endocrin., **36**, 139—150.
- Toft D., Shyamala G., Gorski J. (1967) Proc. Nat. Acad. Sci. USA, **57**, 1740—1743.
- Michel G., Jung I., Baulieu E. E., Aussel C., Uriel L. (1971) Steroids, **24**, 437—449.
- Talwar G. P., Sopori M. L., Biswas D. K., Segal S. J. (1968) Biochem. J., **107**, 765—774.
- Vanderhaar B. K., Kim U. H., Mueller G. C. (1970) Biochim. et biophys. acta, **208**, 517—527.
- Erdos T., Best-Belpomme M., Bessada R. (1970) Anal. Biochem., **37**, 244—252.
- Santi D. V., Sibley C. H., Perriard E. R., Tomkins G. M., Baxter J. D. (1973) Biochemistry, **12**, 2412—2416.
- Shanbhag V. P., Söderård R., Carstensen H., Albertsson P. A. (1973) J. Steroid Biochem., **4**, 537—550.
- Stegges A. W., King R. J. B. (1970) Biochem. J., **118**, 695—701.
- O'Connor S., Baker H. W. G., Dulmanis A., Hudson B. (1973) J. Steroid Biochem., **4**, 331—339.
- Janne O., Kontula K., Luukkainen T., Vihko R. (1975) J. Steroid Biochem., **6**, 501—509.
- Черниев Г. А., Баркова Т. И., Ананченко С. Н., Сорокина И. Б., Матарадзе Г. Д., Розен В. Б. (1979) Биоорганская химия, **5**, 869—878.
- Lowry O. H., Rosenbrough N. J., Farr A., Randall R. (1951) J. Biol. Chem., **193**, 265—275.

Поступила в редакцию
29.IX.1978

После доработки
24.XI.1978

COMPETITIVE INHIBITION APPLICATION FOR DETERMINING THE ASSOCIATION CONSTANTS

CHERNYAEV G. A.

*M. M. Shemyakin Institute of Bioorganic Chemistry,
Academy of Sciences of the USSR, Moscow*

Three formulae have been proposed for calculating the association constants of the compounds which inhibit competitively the ligand-receptor binding. As exemplified with the inhibition of [³H]estradiol binding to the cytosol receptor from rabbit uterus, the calculations by all three formulae give the same result.